

伏見 千尋 先生 / 化学基礎・平衡論・反応工学および演習

全15回の流れ

中間試験は科目・年度により実施。

期末
試験

▶ 週に2回、90分フルで講義
うち、1回は演習問題を出题、解答は翌週
moodle に pdf でアップロード、学生は自己
採点および自習。

授業1コマの流れ

化学基礎・平衡論

反応工学および演習

20分程度

先週の課題の
解答解説

70分程度

板書しながら講義

90分

フルで講義

👉 とにかく手を動かす

▶ 板書 + 毎週の問題演習

基礎科目はとにかく手を動さないといけな
いし、問題演習も多い方がいい。仮に電卓た
たきゲームになったとしても、問題演習を通して、
手から覚えることは多い。

学部の授業では、研究室配属の後に使える
ように、というのが第一。

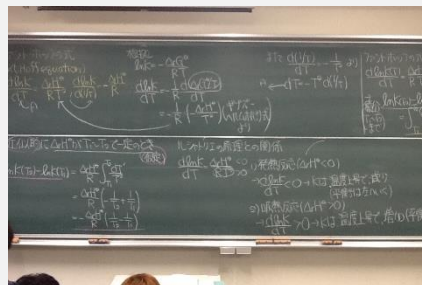
👉 教科書一冊に沿ってベタで進める

- ▶ 毎週の課題は、教科書から抜粋。
- ▶ 復習や予習など、学習しやすい
- ▶ 復習の時に、ノートを見れば何とかなる
という形にする。

▶ 最後列の学生に
話しかけるように講義

板書例

次頁



👉 テキストを一冊 固定にするけれど・・・

受講生(特に1年生)には、「大学入学以降は一つの教
科書が絶対的に正しいということはない」「ただ、教科書を
一冊固定してそれに沿って講義をした方がわかりやすいので、
学部の講義ではそのようにしている」「まずは、一冊の教科
書を理解して、必要に応じて関連するほかの著者の教科
書で理解を太くするように」ということを同時に指導する。

概要情報

▷ 化学基礎・平衡論(2018まで)
▶ 履修人数：およそ40人
▶ 対象年次：1年次
▶ 板書 (+プリント)
▶ どちらかというと 基礎

▷ 反応工学及び演習(2019から)
▶ 履修人数：およそ40人
▶ 対象年次：3年次
▶ 板書 (+プリント)
▶ どちらかというと 基礎

伏見 千尋 (ふしみ・ちひろ) 先生
化学システム工学科

○学生からの声

板書がきれい。
章・節を示してくれるので、
後から見た時に分かりやすい。
解説付きの回答が配られる。
演習科目ではない授業でも
演習がある。

○現在までの経緯

大学院生(5年間)
→ハワイ大学 研究員1年
→国内 財団法人研究所
研究員2年
→助教4.5年
→農工大 准教授8年目

板書例

ファン・ホッフの式 (Hoff equation)

$$\frac{d \ln k}{dT} = \frac{\Delta_r H^\circ}{RT^2} \quad \frac{d \ln k}{d(1/T)} = -\frac{\Delta_r H^\circ}{R}$$

根拠 $\ln k = -\frac{\Delta_r G^\circ}{RT}$

$$\frac{d \ln k}{dT} = -\frac{1}{R} \frac{d(\Delta_r G^\circ / T)}{dT}$$

$$= -\frac{1}{R} \left(-\frac{\Delta_r H^\circ}{T^2} \right) \text{ (ギブス-ヘルムホルツ式より)}$$

また $\frac{d(1/T)}{dT} = -\frac{1}{T^2}$ より

$$\frac{d \ln k(T)}{dT} = \frac{\Delta_r H^\circ}{RT^2}$$

$$\int_{T_1}^{T_2} \frac{d \ln k(T)}{dT} dT = \int_{T_1}^{T_2} \frac{\Delta_r H^\circ}{RT^2} dT$$

$$\ln k(T_2) - \ln k(T_1) = \int_{T_1}^{T_2} \frac{\Delta_r H^\circ}{RT^2} dT$$

近似的に $\Delta_r H^\circ$ が $T_1 \sim T_2$ で一定のとき (仮定)

$$\ln k(T_2) - \ln k(T_1) = \frac{\Delta_r H^\circ}{R} \int_{T_1}^{T_2} \frac{dT}{T^2}$$

$$= \frac{\Delta_r H^\circ}{R} \left(-\frac{1}{T_2} + \frac{1}{T_1} \right)$$

$$= -\frac{\Delta_r H^\circ}{R} \left(\frac{1}{T_2} - \frac{1}{T_1} \right)$$

ルシャトリエの原理との関係

- $$\frac{d \ln k}{dT} = \frac{\Delta_r H^\circ}{RT^2}$$
- 1) 発熱反応 ($\Delta_r H^\circ < 0$)
 $\rightarrow \frac{d \ln k}{dT} < 0 \rightarrow k$ は 温度上昇で 減り (平衡は左へ)
 - 2) 吸熱反応 ($\Delta_r H^\circ > 0$)
 $\rightarrow \frac{d \ln k}{dT} > 0 \rightarrow k$ は 温度上昇で 増え (平衡は右へ)

- ▶ 学部の授業
- ▶ 教科書の内容を要約しながら、板書。
- ▶ 一回の授業で、多い時には10面使う。

② vant Hoff の式
(vant Hoff equation)

$$\frac{d \ln k}{dT} = \frac{\Delta_r H^\ominus}{RT^2} \quad \frac{d \ln k}{d(1/T)} = -\frac{\Delta_r H^\ominus}{R}$$

根拠

$$\ln k = -\frac{\Delta_r G^\ominus}{RT}$$

$$\frac{d \ln k}{dT} = -\frac{1}{R} \frac{d(\Delta_r G^\ominus / T)}{dT}$$

$$= -\frac{1}{R} \left(-\frac{\Delta_r H^\ominus}{T^2} \right) \quad (\text{ギブス-ヘルムホルツ})$$

近似的に $\Delta_r H^\ominus$ が $T_1 \sim T_2$ で一定のとき

(仮定)

$$\begin{aligned} \ln k(T_2) - \ln k(T_1) &= \frac{\Delta_r H^\ominus}{R} \int_{T_1}^{T_2} \frac{dT'}{T'^2} \\ &= \frac{\Delta_r H^\ominus}{R} \left(-\frac{1}{T_2} + \frac{1}{T_1} \right) \\ &= -\frac{\Delta_r H^\ominus}{R} \left(\frac{1}{T_2} - \frac{1}{T_1} \right) \end{aligned}$$

レシャトリエの原理との関係

$$\frac{d \ln k}{dT} = \frac{\Delta_r H^\ominus}{RT^2} < 0 \quad \text{1) 発熱}$$

\rightarrow

2) 吸熱

また $\frac{d(1/T)}{dT} = -\frac{1}{T^2}$ より

A ← $dT = -T^2 d(1/T)$

$(1/T)$

$(\frac{\Delta_r H^\ominus}{T^2})$ (キルヒホッフ式より)

ファンホッフの式より

$$\frac{d \ln k(T)}{dT} = \frac{\Delta_r H^\ominus}{RT^2}$$

積分 (T₁ ~ T₂ まで)

$$\ln k(T_2) - \ln k(T_1) = \int_{T_1}^{T_2} \frac{\Delta_r H^\ominus(T) dT}{RT^2}$$

この原理との関係

$\frac{\Delta_r H^\ominus}{RT^2} < 0$ 1) 発熱反応 ($\Delta_r H^\ominus < 0$)

→ $\frac{d \ln k}{dT} < 0$ → kは温度上昇で減少 (平衡は左へいく)

2) 吸熱反応 ($\Delta_r H^\ominus > 0$)

→ $\frac{d \ln k}{dT} > 0$ → kは温度上昇で増加 (平衡は右へいく)

板書例

$$f = \frac{1}{4} \left(\frac{D}{L} \right) \left(\frac{\rho_s - \rho_f}{\frac{1}{2} \rho_f v_\infty^2} \right) \quad (6.1.4)$$

(b) $F_k = (\pi R^2) \left(\frac{1}{2} \rho_f v_\infty^2 \right) \cdot f$
projected area

if it is impossible to measure F_k

terminal velocity

$$\rightarrow F_k = \frac{4}{3} \pi R^3 \rho_s g - \frac{4}{3} \pi R^3 \rho_f g \quad (6.1.6)$$

(gravity) (buoyancy)

$$\Rightarrow f = \frac{4}{3} \left(\frac{gD}{v_\infty^2} \right) \left(\frac{\rho_s - \rho_f}{\rho_f} \right) \quad (6.1.7)$$

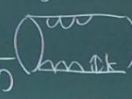
C_D (drag coefficient 抵抗係数)

tube \rightarrow Fig. 6.2.2 Moody diagram

For laminar, $f = \frac{16}{Re}$ ($Re < 2100$)

For turbulent flow $f =$

For rough tubes Haaland equation

$k/D < 0.5$ 

At entrance and exit (inlet) (outlet)

for smooth tubes/pipes For laminar flow, $Le \approx 0.03D$

For turbulent flow $Le \approx 60D$

Chap. 6 Interphase Transport

in Isothermal Systems

§6.1 Definition of friction factors.

(a) conduit

(b) submerged object

def.

$$F_k \equiv A \cdot k \cdot f$$

(a) $k v_\infty$: average velocity

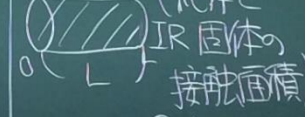
(b) v_∞ : approaching velocity

$F_{fs} = F_s + F_k$
 (stationary) (kinetic)

A : characteristic area

k : a characteristic kinetic energy per unit vol.

(a) $F_k = (2\pi RL) \left(\frac{1}{2} \rho_f v_\infty^2 \right) \cdot f$ Fanning friction factor



horizontal $P = p \cdot f \cdot L$

vertical $P = p \pm \rho g L \cdot f \cdot L$



$$F_k = (\rho_s - \rho_f) \pi R^2 L$$

$$= \frac{[(\rho_s - \rho_f) + \rho_f g (h_o - h_i)] \pi R^2 L}{(\text{圧損}) \times (\text{断面積})}$$

inclined $P = p \pm \rho g h \cdot f \cdot L$

